

(VII) 逆流域の流速は、土砂移動が問題になりほど大きくなり得る。一方、下流高水敷の順流は大きく、ここで一般に高水敷の最大流速を経験する。

2. 逆流発生の予測

高水敷上の顕著な逆流の発生は、高水敷上において上下流のエネルギーあるいは運動量の不均衡から発生することは明瞭である。わん曲部上流の高水敷の水位は低水路の水位に等しく、流速水頭はその水深と高水敷の粗度、勾配によって決まる。一方わん曲部内では、わん曲始端より僅か下流で自由渦にもとづく Super-elevation を生じ、高水敷の水位はそれに等しいと考えられる。いまわん曲始端のごく近傍の上下流を考えると、上流側高水敷のエネルギーは $(H + V^2/2g)$ 、下流側わん曲部内の高水敷水位は横断面形状より $H + (R_c^2/2g)(1/r_c^2 - 1/r_o^2)$ に上昇する。ここに r_c, r_o は水路中心および外岸低水路法線のそれぞれ曲率半径、 $R_c^2 = V_m^2(r_c^2 - B^2/4)$ 、 V_m は低水路断面平均流速、 B は低水路中である。高水敷上のエネルギーが均衡のとれた状態では ($v = v_c$ において) 簡単な

$$v_c^2 = R_c^2 (1/r_c^2 - 1/r_o^2)$$

を得る。運動量の均衡を考えると

$$v_c^2 = R_c^2 (1/r_c^2 - 1/r_o^2) / 2$$

が得られる。右表の

実験 NO.	高水敷中	低水路中	低水路平均流速	高水敷流速断面	逆流の有無	断面
1	30	140	34 cm/s	28 cm/s	無	0°
2	30	140	50	22	有	90°
3	60	110	45	34	無	0°
4	60	110	69	20	有	90°
5	90	80	62	41	無	0°
6	90	80	95	35	有	90°

6ケースの実験ではエネルギーの前者がより適合している。

3. 高水敷上の流速分布 (必要高水敷中)

順流のみの場合には低水路と高水敷より複雑な流量交換がないので、高水敷上の横断流速分布を決定するのは高水敷の等流流速 V_H 、水深 h_H および低水路の代表流速 V_L とである。流速の縦断方向の変化を無視すると、この状況を描写する運動方程式は円柱座標の θ 方向より

$$0 = gI + \frac{d}{dt} \left[\epsilon \left(\frac{dv}{dr} + \frac{v}{r} \right) \right] - \frac{f}{R} v^2$$

ここに g は重力加速度、 I は縦断水面勾配、 r は曲率半径

$\epsilon (dv/dr + v/r) = \mu (dv/dr + v/r) - \overline{u'v'}$ 、 f は摩擦係数である。境界条件で与えらるべき外岸低水路法線流速は、最悪の場合を考えると、わん曲終端の強制渦流速を使うべきだと思われる。上式で $\epsilon = R_c \mu$

あるいは $\epsilon = R_c (V_L - V_H)$ とおき、 v/r 項を省略した式は直線部のものと同一であり、既に解かしている ($R_c = \text{const.}$)。一方逆流を生じ、高水敷上へ溯上する流水による高水敷上の流速分布は、もはや上式では表わし得ない。こゝまでには場合ごとの考察と適当な実験状況とがでなかつたので今後検討を続けたい。

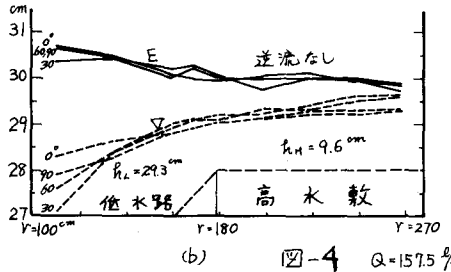
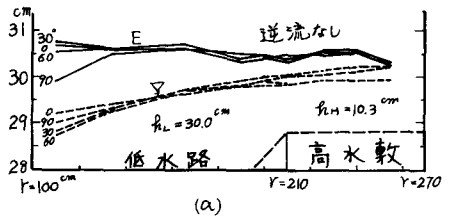


図-4 Q=157.5 l/sec

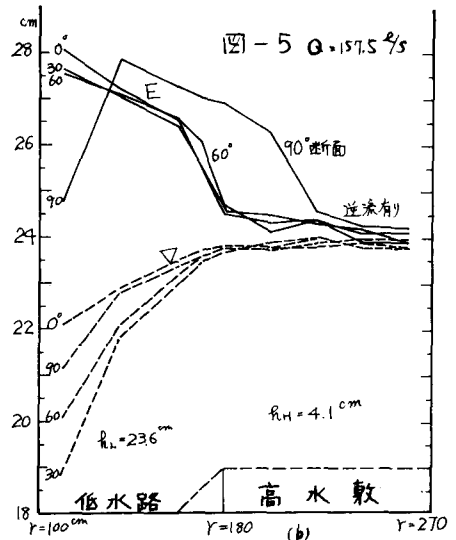
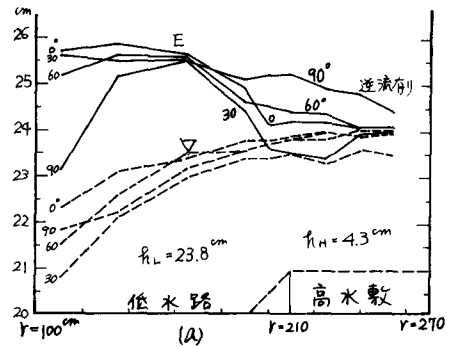


図-5 Q=157.5 l/sec